

# **Рекомбинация $\beta$ -ребер $\alpha\beta$ -триангуляции на евклидовой плоскости**

## **Recombination of $\beta$ -edges in $\alpha\beta$ -triangulation on the Euclidean plane**

### **Рустамян В.В.**

Старший преподаватель кафедры «Инженерная графика», ФГБОУ ВО «МИРЭА - Российский технологический университет», г. Москва  
e-mail: vv@rustamyan.ru

### **Rustamyan V.V.**

Senior Lecturer Department of Engineering Graphics, MIREA - Russian Technological University, Moscow  
e-mail: vv@rustamyan.ru

### **Кадыкова Н.С.**

Канд. техн. наук, доцент кафедры «Инженерная графика», ФГБОУ ВО «МИРЭА - Российский технологический университет», г. Москва  
e-mail: nkadykova@mail.ru

### **Kadykova N.S.**

Candidate of Technical Sciences, Associate Professor of the Department of Engineering Graphics, MIREA - Russian Technological University, Moscow  
e-mail: nkadykova@mail.ru

### **Аннотация**

В данной статье осуществляется поиск алгоритма рекомбинации  $\beta$ -ребер для алгоритма образования  $\alpha\beta$ -триангуляции из произвольной триангуляции на евклидовой плоскости. Выявлены возможные нарушения структуры  $T_{\alpha\beta}$ . Определена асимптотическая времененная сложность алгоритма.

**Ключевые слова:** триангуляция,  $\alpha\beta$ -триангуляция, свойства  $\alpha\beta$ -триангуляции, алгоритм оптимизации, рекомбинация ребер.

### **Abstract**

This paper addresses the search for a recombination algorithm of  $\beta$ -edges for generating an  $\alpha\beta$ -triangulation from an arbitrary triangulation on the Euclidean plane. Possible violations of the  $T_{\alpha\beta}$  structure have been identified. An asymptotic time complexity of the algorithm has been determined.

**Keywords:** triangulation,  $\alpha\beta$ -triangulation, properties of  $\alpha\beta$ -triangulation, optimization algorithm, edge recombination.

### **Введение**

В статье [4] была создана математическая модель, определены основные свойства, определены операции разреза и сшивки  $\alpha\beta$ -триангуляции, и описан алгоритм образования  $\alpha\beta$ -триангуляции из произвольной триангуляции. Данная математическая модель является теоретической основой и новым подходом для решения задачи аппроксимации поверхностей свободной формы полиэдрами с группами конгруэнтных граней [2, 3, 7, 8]. Одним из шагов последнего алгоритма является механизм рекомбинации  $\beta$ -ребер посредством переброски

ребра, или иначе, флип ребра (flip) [1]. В данной статье авторы описывают алгоритм такого действия для  $\alpha\beta$ -триангуляции на евклидовой плоскости.

### Постановка задачи

1. Описать алгоритм переброски  $\beta$ -ребер для  $\alpha\beta$ -триангуляции на евклидовой плоскости.

### Теория

В целях ознакомления читателя с математической моделью, которая по сути своей является оптимальной триангуляцией с ограничениями по критерию минимизации суммы длин ребер, процитируем из [4] определение  $\alpha\beta$ -триангуляции, лемму 1 и свойство 4.

**«Определение.** Возьмем сильно связную триангуляцию размерности 2 в пространстве  $R^2$ . Выделим некоторое множество граней и обозначим их замыкания  $\alpha$ -треугольниками. Соответственно остальные элементы триангуляции обозначаются  $\beta$ -элементами. Такой комплекс назовем  $\alpha\beta$ -триангуляцией ( $T_{\alpha\beta}$ ), если он удовлетворяет следующим условиям:

1. Тела  $\alpha$ -треугольников не имеют общих точек;
2. Триангуляция  $K$  содержит в себе только вершины остовов  $\alpha$ -треугольников;
3. Сумма длин  $\beta$ -ребер минимальна.»

**«Лемма 1.**  $\beta$ -ребрам всегда подчинены  $\alpha$ -вершины.»

**«Свойство 4.**  $\beta$ -треугольник есть комплекс, в состав которого включены не более одного  $\alpha$ -ребра.»

Из определения, леммы 1 и свойства 4 следует еще одно свойство  $\alpha\beta$ -триангуляции.

**Свойство.**  $\beta$ -ребро всегда подчинено  $\beta$ -треугольнику.

По определению  $\alpha$ -треугольнику подчинены только  $\alpha$ -ребра. Из леммы 1 и свойства 4 следует, что  $\beta$ -отрезок опирается на вершины  $\alpha$ -треугольника, но только  $\beta$ -треугольник способен содержать в себе  $\beta$ -ребра. В зависимости от того, является  $\beta$ -ребро граничным или внутренним, соответственно будет смежным с одним или с двумя  $\beta$ -треугольниками.

На рис. 1 представлена  $\alpha\beta$ -триангуляция, где выполнены все этапы алгоритма образования  $\alpha\beta$ -триангуляции из произвольной сильно связной триангуляции, кроме оптимизации по условию 3 определения.

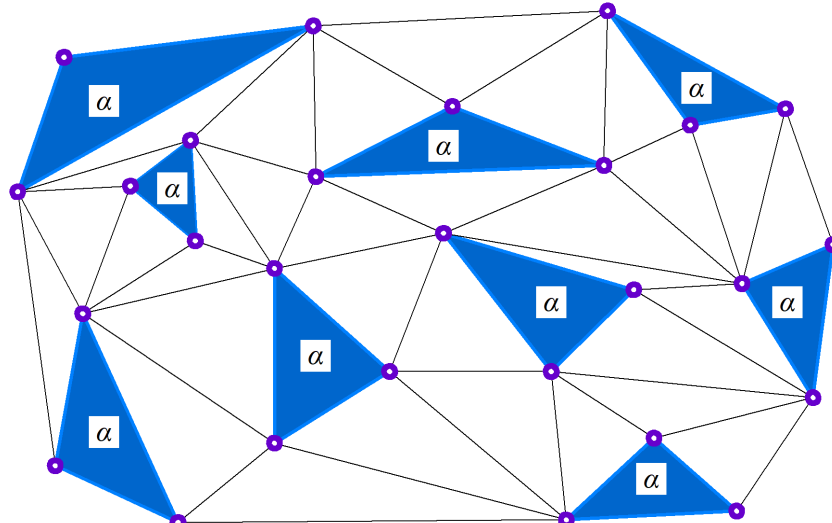


Рис. 1.  $\alpha\beta$ -триангуляция без выполнения 3 условия определения

### Алгоритм рекомбинации $\beta$ -ребер

Из полученного свойства следует, что для оптимизации  $\beta$ -ребер по критерию минимизации суммы их длин достаточно для каждого внутреннего  $\beta$ -ребра проверить условие его минимальности. Каждому внутреннему ребру смежны две грани. Значит замыкания этих граней образуют комплекс в виде четырехугольника, в котором две диагонали являются конкурирующими по длине.

На рис. 2 взято произвольное внутреннее  $\beta$ -ребро из заданной триангуляции (рис. 1), отмеченное утолщённой красной линией. По выбранному ребру смежны грани  $\beta_1$  и  $\beta_2$ , выделены зеленым цветом. Их замыкания, в свою очередь, образуют четырехугольник с двумя диагоналями. Вторая диагональ легко обнаруживается как линия, соединяющая вершины четырехугольника неподчиненные выбранному  $\beta$ -ребру, отмечена штриховой красной линией. Производится сравнение длин [5]. Если выбранное ребро короче, комплекс остается без изменений. В противном случае производится флип ребра.

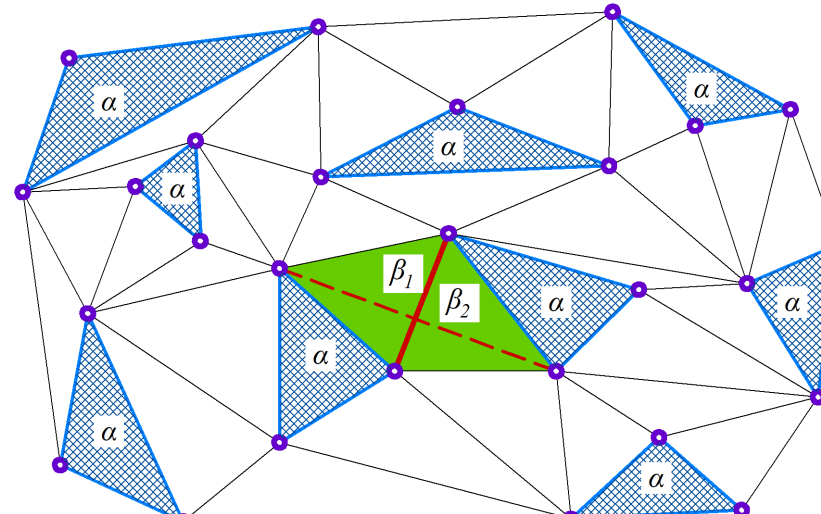
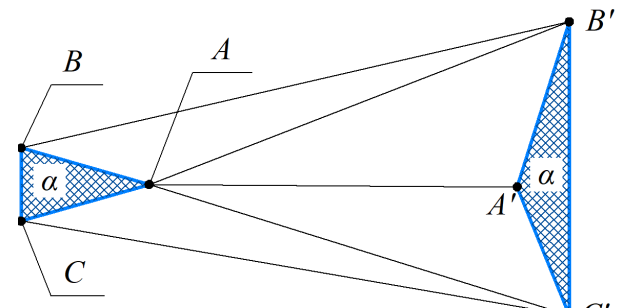


Рис. 2. Алгоритм поиска  $\beta$ -ребер для рекомбинации

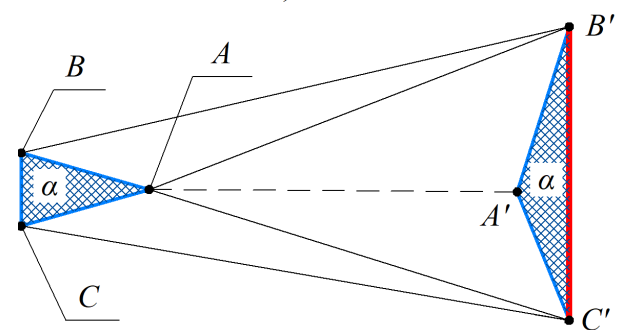
Во время выполнения этого алгоритма возникают конструкции, которые противоречат определению триангуляции. Один из таких случаев представлен на рис. 3. Задана триангуляция с двумя  $\alpha$ -треугольниками. При проверке ребра  $AA'$  в четырехугольнике  $AB'A'C'$  диагональ  $B'C'$  оказывается короче проверяемой. При выполнении флипа ребра создается два новых треугольника, один из которых совпадает с  $\alpha$ -треугольником  $A'B'C'$ , на другой ( $AB'C'$ ) накладываются оба предыдущих. Соответственно, во избежание таких случаев требуется проверка диагонали на совпадение с  $\alpha$ -ребром.

На рис. 4 приведены еще два примера, где при выполнении флипа ребра происходит пересечение  $\beta$ -ребра с  $\alpha$ -треугольником. Основываясь на аксиомах принадлежности евклидовой геометрии и непрерывности плоскости легко доказать, что прямая, проходящая через вершину треугольника, пересекает сам треугольник, если она пересекает противолежащую вершину стороны треугольника. Так как у нас  $\beta$ -ребро есть отрезок, соединяющий два  $\alpha$ -треугольника, то требуется производить проверку его пересечения с противолежащими  $\alpha$ -ребрами дважды, т.е. для каждого  $\alpha$ -треугольника.

С возможными нарушениями структуры  $T_{\alpha\beta}$  мы разобрались. Теперь следует понять, как осуществить перебор всех внутренних  $\beta$ -ребер? Создадим очередь из них. Будем осуществлять проверку каждого. На рис. 5 (правая часть триангуляции из рис. 1) рассмотрим случай осуществления флипа ребра. Есть ребро  $BC$ , которое прошло проверку и в четырехугольнике  $CABD$  является наименьшей диагональю. Есть ребро  $CD$ , над которым осуществляется проверка. В четырехугольнике  $BCFD$  диагональ  $BF$  оказывается наикратчайшей, осуществляется флип ребра. Если после перестройки снова проверить ребро  $BC$ , то в четырехугольнике  $ABFC$  оно окажется длиннее диагонали  $AF$ . Получается, если созданная очередь  $\beta$ -ребер будет статична, то мы упускаем некоторое множество  $\beta$ -ребер, требующих перестройки. Эта задача решается, если  $\beta$ -ребра – стороны четырехугольника, в котором произошел флип ребра добавлять в очередь для повторной проверки.

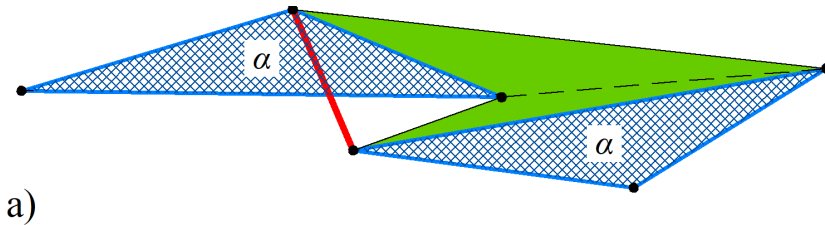


a)

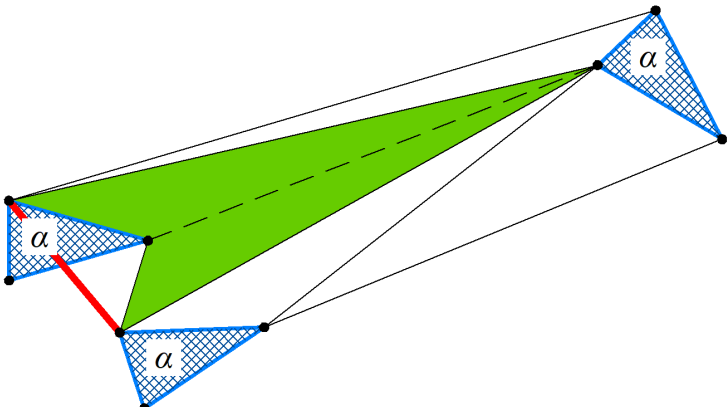


б)

**Рис. 3.** Пример нарушения,  $\beta$ -ребро совпадает с  $\alpha$ -ребром

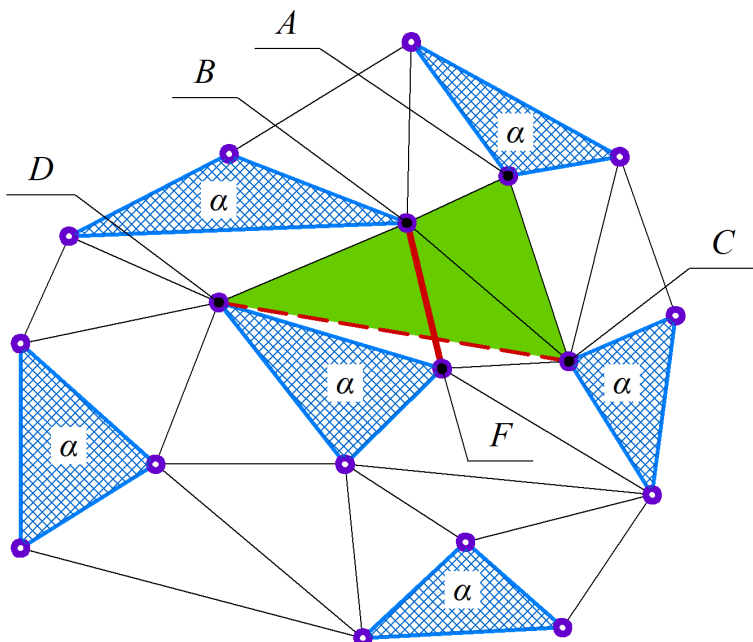


а)



б)

**Рис. 4.** Примеры нарушения,  $\beta$ -ребро пересекает  $\alpha$ -ребро



**Рис. 5.** Алгоритм перебора  $\beta$ -ребер в случае флипа ребра

### Результат

Опишем полный алгоритм рекомбинации  $\beta$ -ребер  $\alpha\beta$ -триангуляции, который является частью алгоритма образования  $\alpha\beta$ -триангуляции из заданной произвольной триангуляции.

1. Создание очереди (списка) внутренних  $\beta$ -ребер.
2. Проверка  $\beta$ -ребра на минимальность длины в соответствующем четырехугольнике.
  - 2.1. Если проверяемое ребро минимально среди диагоналей:
    - 2.1.1. Если ребро не пересекает  $\alpha$ -треугольник:
      - 2.1.1.1. Произвести флип ребра;
      - 2.1.1.2. Вставить в очередь  $\beta$ -стороны вновь образовавшегося четырехугольника.
    - 2.2. Иначе:
      - 2.2.1. Вернуться к пункту 2.
  3. Сохранить и завершить программу.

### Выводы

В статье описан алгоритм рекомбинации  $\beta$ -ребер для алгоритма образования  $\alpha\beta$ -триангуляции из заданной произвольной триангуляции на евклидовой плоскости. Найдены возможные коллизии  $\beta$ -ребер с  $\alpha$ -треугольниками и определены действия для их решения. Временная сложность полученного алгоритма составляет  $O(n)$ , где  $n$  – число  $\beta$ -ребер триангуляции [6].

### Литература

1. Лебединская Н.А. Преобразование триангуляций при помощи элементарных операций [Текст] / Н.А. Лебединская, Д.М. Лебединский // Вестник Санкт-Петербургского университета. Прикладная математика. Информатика. Процессы управления. – 2009. – № 1. – С. 84-86.
2. Рустамян В.В. Анализ топологии полиэдров в задаче аппроксимации замкнутых поверхностей полиэдрами с группами конгруэнтных граней [Текст] / В.В. Рустамян // GraphiCon 2024: Материалы 34-й Международной конференции по компьютерной графике и машинному зрению, Омск, 17–19 сентября 2024 года. – Омск: Омский государственный технический университет, 2024. – С. 827-836. – DOI 10.25206/978-5-8149-3873-2-2024-827-836.
3. Рустамян В.В. Анализ основных параметров генетического алгоритма при решении задачи аппроксимации замкнутых поверхностей свободной формы полиэдрами с группами

- конгруэнтных треугольников [Текст] / В.В. Рустамян // Геометрия и графика. – 2024. – Т. 12, № 2. – С. 13-25. – DOI 10.12737/2308-4898-2024-12-3-13-25.
4. Рустамян В.В.  $\alpha\beta$ -триангуляция на евклидовой плоскости [Текст] / В.В. Рустамян // Геометрия и графика. 2025. Т. 13. № 1. С. 15-25. DOI: 10.12737/2308-4898-2025-13-1-15-25.
  5. Сальков Н.А. Определение расстояний между геометрическими фигурами интерактивным методом [Текст] / Н.А. Сальков // Геометрия и графика. – 2024. – Т. 12, № 4. – С. 3-14. – DOI 10.12737/2308-4898-2024-12-4-3-14.
  6. Скворцов А.В., Мирза Н.С. Алгоритмы построения и анализа триангуляции. — Томск: Изд-во Томского университета, 2006. – 168 с. – ISBN 5-7511-2028-0.
  7. Liu Y., Lee T.-U., Rezaee Javan A., Pietroni N., Xie Y. Reducing the Number of Different Faces in Free-Form Surface Approximations Through Clustering and Optimization. // Computer-Aided Design. 2023. 166. 103633. 10.1016/j.cad.2023.103633.
  8. Pellis D., Kilian M., Wang H., Jiang C., Müller C., Pottmann H. Architectural freeform surfaces designed for cost-effective paneling through mold re-use. // Conference: Advances in Architectural Geometry. 2021.